

Aplikace quasi-lineární techniky na třídu matematických modelů splňujících zákony zachování

Ctirad Matonoha

Ústav informatiky AV ČR, v. v. i.

Pod Vodárenskou věží 2, 182 00 Praha 8

společně s

Jurjen Duintjer Tebbens, Štěpán Papáček

Seminář Katedry matematické analýzy a aplikací matematiky,
Přírodovědecká fakulta Univerzity Palackého v Olomouci,
13.2.2024, 13:30

Contents

- 1 Úvod
- 2 Speciální třída matematických modelů
 - Nelineární formulace
 - Quasi-lineární formulace
- 3 Metody řešení systémů ODR a odhadu parametrů
- 4 Michaelis-Menten kinetika
 - Nelineární a zjednodušená formulace
 - Quasi-lineární formulace
 - Numerické výsledky
- 5 Farmakodynamický model aktivace receptoru PXR
 - Nelineární a zjednodušená formulace
 - Quasi-lineární formulace
 - Numerické výsledky
- 6 Závěr

Outline

1 Úvod

2 Speciální třída matematických modelů

- Nelineární formulace
- Quasi-lineární formulace

3 Metody řešení systémů ODR a odhadu parametrů

4 Michaelis-Menten kinetika

- Nelineární a zjednodušená formulace
- Quasi-lineární formulace
- Numerické výsledky

5 Farmakodynamický model aktivace receptoru PXR

- Nelineární a zjednodušená formulace
- Quasi-lineární formulace
- Numerické výsledky

6 Závěr

Inspirace a motivace

Erich Bohl (1936–2016) a Ivo Marek (1933–2017)



- ➊ Upozornit na speciální třídu nelineárních matematických modelů se zákony zachování.
- ➋ Vysvětlení formulace
„Jak se nelineární systémy stávají quasi-lineárními“.
- ➌ Jak se v ODR objevuje **M-matice** (negativní, singulární).
- ➍ Ukázat výhody použití *quasi-lineární formulace*.
- ➎ Bohl a Marek použili quasi-lineární formulaci ve svých článcích pro teoretické účely (*existence, jednoznačnost řešení, ...*).

Outline

1 Úvod

2 Speciální třída matematických modelů

- Nelineární formulace
- Quasi-lineární formulace

3 Metody řešení systémů ODR a odhadu parametrů

4 Michaelis-Menten kinetika

- Nelineární a zjednodušená formulace
- Quasi-lineární formulace
- Numerické výsledky

5 Farmakodynamický model aktivace receptoru PXR

- Nelineární a zjednodušená formulace
- Quasi-lineární formulace
- Numerické výsledky

6 Závěr

Nelineární formulace

V reálném světě se vyskytuje podstatná třída speciálních biologických a chemických procesů, která je popsána pomocí nelineárních obyčejných diferenciálních rovnic. Nejobecnější tvar:

$$x'(t, p) = L(p)x(t, p) + n(t, x(t, p), p) + c(t, p)$$

kde

- derivaci uvažujeme podle času
- matice $L(p) \in \mathcal{R}^{n_x \times n_x}$ reprezentuje lineární část
- vektor $n(t, x(t, p), p) \in \mathcal{R}^{n_x}$ reprezentuje nelineární část
- vektor $c(t, p) \in \mathcal{R}^{n_x}$ reprezentuje konstantní část
- vektor $x(t, p) \in \mathcal{R}^{n_x}$ jsou stavové proměnné (koncentrace)
- t je čas, $t \in [0, T]$
- $p \in \mathcal{R}^{n_p}$ reprezentuje množinu parametrů vyskytujících se v systému
- kromě toho můžeme mít množinu (experimentálních) dat $d \in \mathcal{R}^{n_d}$ reprezentující hodnoty (obvykle jedné) stavové proměnné

Modelové parametry

Dvě skupiny modelových parametrů $p \in \mathcal{R}^{n_p}$:

- **Známé** – jejich hodnoty lze získat z literatury nebo z přímého experimentálního měření.
- **Neznámé** – jejich hodnoty je třeba získat odhadem a následným fitováním za využití experimentálních dat $d \in \mathcal{R}^{n_d}$.

Odhad parametrů je nedílnou součástí samotného procesu modelování.

Odhadovat (zpřesnit) lze i některé známé hodnoty, lze docílit lepšího fitování křivky.

Fitování (většinou minimalizace součtu čtverců) reprezentuje optimalizaci s jednoduchýmimezemi:

- žádané parametry mají být kladné a
- měly by ležet ve fyzikálně smysluplném intervalu.

Problém odhadu parametrů může být **špatně podmíněný** a může být nutná **regularizace**. Někdy se provádí **citlivostní analýza**, abychom zjistili, jaké parametry mají větší vliv na chování systému a jaké menší.

M-matice

\mathcal{Z}_n matice

Označíme \mathcal{Z}_n ($n \geq 1$) množinu všech čtvercových reálných matic řádu n , jejichž všechny mimodiagonální prvky jsou nekladné, tj.

$$\mathcal{Z}_n = \left\{ A = (a_{ij}) \in \mathbb{R}^{n \times n} : a_{ij} \leq 0, \quad i, j = 1, \dots, n, \quad i \neq j \right\}.$$

Regulární, respektive singulární M-matice

Nechť $A \in \mathcal{Z}_n$. Pak A je též **M-matice**, jestliže ji lze vyjádřit ve tvaru $A = kI - C$, kde $C \geq 0$ a $k > \varrho(C)$, respektive $k \geq \varrho(C)$.

Příklad negativní singulární M-matice

Matice $A = (a_{ij}) \in \mathbb{R}^{n \times n}$ je **negativní singulární M-matice**, jestliže

$$a_{ij} \geq 0, \quad i, j = 1, \dots, n, \quad i \neq j; \quad a_{ii} = - \sum_{k=1, k \neq i}^n a_{ki}, \quad i = 1, \dots, n.$$

Existuje mnoho vlastností charakterizujících M-matice [Fiedler, 2013].

Quasi-lineární formulace

Mnoho procesů je speciálních tím, že je lze popsat (přeformulovat) pomocí **lineárních evolucí**

$$x^{(k)'}(t, p) = L^{(k)}(p) x^{(k)}(t, p), \quad k = 1, \dots, r,$$

kde $x^{(k)}(t, p) \in \mathcal{R}^{n_k}$ jsou množiny částečně se překrývajících stavových proměnných $x(t, p)$ a rozšířený vektor

$$\tilde{x}(t, p) = [x^{(1)}(t, p)^T, \dots, x^{(r)}(t, p)^T]^T$$

obsahuje všechny stavové proměnné $x(t, p)$ (některé složky víckrát).

Dále $L^{(k)}(p)$ jsou **negativní singulární M-matice**, jejichž prvky nezávisí na $x^{(k)}(t, p)$, ale **mohou záviset na dalších proměnných vyskytujících se v systému**. Matice $L^{(k)}(p)$ jsou tak ve skutečnosti **quasi-lineární**.

Prostřednictvím této závislosti je celý systém nelineární a matice celého systému je **blokově diagonální**:

$$\tilde{x}'(t, p) = \tilde{L}(\tilde{x}(t, p), p) \tilde{x}(t, p),$$

kde $\tilde{L}(\tilde{x}(t, p), p) = \text{diag}\{L^{(1)}(p), \dots, L^{(r)}(p)\}$.

Zákon zachování

Teorie těchto subsystémů (pro jednotlivé k) je dobře propracovaná.
Zejména pro všechny platí **zákon zachování (conservation property)**.

Zákon zachování

Modely mají tu vlastnost, že množství různých chemických látek se v průběhu času mění, ale jejich celkové množství zůstává neměnné.

Je-li tedy $x^{(k)}(t, p) \in \mathcal{R}^{n_k}$, pak

$$\sum_{i=1}^{n_k} x_i^{(k)}(t, p) = \text{const.} \quad \forall t \in [0, T], \quad k = 1, \dots, r.$$

Vlastnosti matice \tilde{L}

Shrnutí: matice \tilde{L} :

- Závisí na $x(t)$, odtud **quasi-lineární** systém.
- Je blokově diagonální s kladnými mimodiagonálními prvky.
- Součet mimodiagonálních sloupcových prvků je roven zápornému diagonálnímu prvku.
- Diagonální bloky jsou **singulární, negativní M-matice**.

Výhody quasi-lineární formulace

- ① Quasi-lineární tvar je zaveden kvůli usnadnění důkazů **existence, jednoznačnosti a stability** příslušných systémů ODR.
- ② Skutečnost, že submatice jsou záporné M-matice, vede k **úspoře paměti nebo výpočetního času**.
- ③ Je možné formulovat strategii numerické integrace – algoritmu, který je **méně komplikovaný a výpočetně méně náročný** než algoritmus pro obecné nelineární ODR.
- ④ V případech, kdy není možné přímo získat quasi-lineární formulaci, může být možné **zavést „fiktivní“ stavové proměnné**, které takovou situaci uměle vytvoří.

Příklady aplikací

Existuje mnoho aplikací, které lze přeformulovat na quasi-lineární tvar s **negativní singulární M-maticí**. Zaměříme se na:

- Speciální typ nelineárního dynamického systému – [Michaelis-Menten kinetiku](#), kterou lze takto přeformulovat.
- [Farmakodynamický model aktivace nukleárního receptoru PXR](#), který hraje mimo jiné důležitou roli v detoxikaci jaterních buněk. Receptor má mnoho ligandů, zde uvažujeme o léku Rifampicin. Quasi-lineární formulace se získá zavedením fiktivní proměnné.

Outline

1 Úvod

2 Speciální třída matematických modelů

- Nelineární formulace
- Quasi-lineární formulace

3 Metody řešení systémů ODR a odhadu parametrů

4 Michaelis-Menten kinetika

- Nelineární a zjednodušená formulace
- Quasi-lineární formulace
- Numerické výsledky

5 Farmakodynamický model aktivace receptoru PXR

- Nelineární a zjednodušená formulace
- Quasi-lineární formulace
- Numerické výsledky

6 Závěr

Nelineární ODR

Základní tvar:

$$x'(t) = Ax(t) + b(t, x(t))$$

kde $x \in \mathcal{R}^n$, $A \in \mathcal{R}^{n \times n}$, $b \in \mathcal{R}^n$, $t \in [0, T]$.

Možnosti řešení:

- Software ODEPACK (Alan Hindmarsh)
<https://computing.llnl.gov/projects/odepack>
- Implicitní Eulerova metoda
- ...

V obou případech jsme dostali prakticky stejné řešení
– až na výpočetní čas (ODEPACK je pomalejší).

Implicitní Eulerova metoda

Časové derivace jsou nahrazeny konečnými diferencemi s krokem τ :

$$t_0 = 0, \quad t_j = j\tau, \dots, \quad j = 1, \dots, m, \quad t_m = T$$

$$\frac{x_j - x_{j-1}}{\tau} = Ax_j + b(t_j, x_j)$$

$$[I - \tau A]x_j - \tau b(t_j, x_j) = x_{j-1}, \quad j = 1, \dots, m,$$

kde $x_j = x(t_j)$.

Člen $b(t_j, x_j)$ je nelineární, je třeba použít Newtonovu metodu. Označme

$$y \equiv x_j, \quad p(y) = [I - \tau A]y - \tau b(t_j, y), \quad q = x_{j-1}.$$

Hledáme y takové, že

$$F(y) \equiv p(y) - q = 0, \quad F : \mathcal{R}^n \rightarrow \mathcal{R}^n.$$

Vnitřní Newtonova metoda

Zvolíme $y^{(0)}$ a počítáme iterace $y^{(k)}$, $k = 1, 2, \dots$, tak, že

$$y^{(k)} = y^{(k-1)} + d^{(k-1)}, \quad J(y^{(k-1)})d^{(k-1)} = -F(y^{(k-1)}),$$

kde $J(y)$ je Jacobiho matice funkce $F(y)$. Položíme

$$y^{(0)} = x_{j-1} = q$$

a platí

$$-F(y^{(0)}) = \tau [Ax_{j-1} + b(t_j, x_{j-1})],$$

$$-F(y^{(k)}) = q - y^{(k)} + \tau [Ay^{(k)} + b(t_j, y^{(k)})], \quad k = 1, 2, \dots$$

Kriteria ukončení: pokud pro nějaké k platí:

- $\|F(y^{(k)})\| \leq \varepsilon_F$ nebo
- $\|d^{(k-1)}\| \leq \varepsilon_d$ nebo
- $k = k_{\max} > 0$,

pak položíme

$$x_j = y^{(k)}$$

Algoritmus pro řešení $x'(t) = Ax(t) + b(t, x(t))$

- ① Vstup: časový krok τ nebo počet kroků m tak, aby $\tau m = T$, počáteční podmínka x_0 .
- ② Sestavíme matici modelových parametrů A a vektor modelových parametrů $b(t_0, x_0)$. Položíme $j = 1$.
- ③ Položíme

$$\bar{A} = \tau A, \quad \tilde{A} = I - \bar{A}.$$

- ④ Položíme
- ⑤ Určíme x_j pomocí Newtonovy metody (vnitřní iterace).
- ⑥ Je-li $j < m$, položíme $j := j + 1$ a návrat na krok 4.

Je-li $b = 0$ (lineární systém ODR), pak v kroku 5 řešíme lineární systém

$$\tilde{A} x_j = x_{j-1}$$

Subalgoritmus Newtonovy metody

- 1 Vstup: terminační kriteria ε_d , ε_F , k_{\max} .
- 2 Položíme $y^{(0)} = x_{j-1}$ a $-F(y^{(0)}) = \bar{A}y^{(0)} + \bar{b}(t_j, y^{(0)})$.
- 3 Položíme $\tilde{b}(t_j, y^{(0)}) = -\bar{b}(t_j, y^{(0)})$.
- 4 Položíme $k = 1$ a určíme Jacobiho matici $J(y^{(k-1)}) = F'(y^{(k-1)})$.
- 5 Řešíme lineární systém pro $d^{(k-1)}$:

$$J(y^{(k-1)}) d^{(k-1)} = -F(y^{(k-1)})$$

- 6 Položíme $y^{(k)} = y^{(k-1)} + d^{(k-1)}$ a
 $-F(y^{(k)}) = y^{(0)} - [\tilde{A}y^{(k)} + \tilde{b}(t_j, y^{(k)})]$.
- 7 Je-li $\|d^{(k-1)}\| \leq \varepsilon_d$ nebo $\|F(y^{(k)})\| \leq \varepsilon_F$ nebo $k = k_{\max}$,
položíme $x_j = y^{(k)}$ a STOP.
- 8 Aktualizujeme matici $J(y^{(k)})$, položíme $k := k + 1$ a návrat na
krok 5.

Eulerova metoda pro quasi-lineární tvar

Řešení systému

$$\tilde{x}'(t) = \tilde{L}(\tilde{x}(t)) \tilde{x}(t)$$

vede na výpočet

$$[I - \tau \tilde{L}(\tilde{x}_j)] \tilde{x}_j = \tilde{x}_{j-1}, \quad j = 1, \dots, m,$$

což není lineární systém.

Protože bloky \tilde{L} nezávisí na odpovídajících proměnných, lze ho linearizovat tak, že v matici \tilde{L} uvažujeme časový krok $(j-1)$, tj. řešíme systém

$$[I - \tau \tilde{L}(\tilde{x}_{j-1})] \tilde{x}_j = \tilde{x}_{j-1}, \quad j = 1, \dots, m.$$

Jelikož matice $[I - \tau \tilde{L}(\tilde{x}_{j-1})]$ je blokově diagonální, řešení tohoto lineárního systému se rozdělí na řešení malých systémů.

Odhad parametrů

Odhady neznámých parametrů se získávají pomocí fitování křivky, tj. minimalizace součtu čtverců na základě porovnání pozorovaných (získaných experimentálních) a vypočtených koncentrací:

$$Z(p_*) = \min_p Z(p),$$

$$Z(p) = \sum_{j \in J_d} [x_i(t_j, p) - d_j]^2 \quad \text{nebo} \quad Z(p) = \sum_{j \in J_d} \left[\frac{x_i(t_j, p) - d_j}{d_j} \right]^2$$

kde

- p_* je optimální množina parametrů minimalizující funkci Z
- d_j je množina pozorovaných koncentrací v časech t_j , $j \in J_d$
- $x_i(t_j, p)$ je spočtená koncentrace (řešení ODR) v časech t_j , $j \in J_d$
– tj. i -tá složka vektoru $x(t_j, p)$, která se porovnává
- $J_d = \{j; j \in \{1, \dots, m\}\}$ je časová množina, ve které jsou pozorování

Experimentálních dat je obvykle velmi málo, což nemusí stačit k dobrému odhadu parametrů.

Řešení minimalizační úlohy

Použitý software: UFO systém [Lukšan et al., 2017]

Použité metody (základní se základním nastavením):

- Metody s lokálně omezeným krokem (Trust Region) – minimalizují kvadratickou approximaci objektivní funkce
- Metody s proměnnou metrikou (Variable Metric) – používají approximace Hessovy matice nebo její inverze
- Heuristické metody (HM) – nevyžadují spojitost objektivní funkce

Objektivní funkce Z není hladká, neboť obsahuje řešení systému ODR – **ztěžuje použití gradientních metod.**

Během procesu odhadu parametrů musí být model volán opakovaně!
Jedná se o dvouúrovňovou úlohu:

- **vnější** — minimalizace Z vzhledem k p
- **vnitřní** – řešení systému ODR pro $x_i(t_j, p)$

Outline

1 Úvod

2 Speciální třída matematických modelů

- Nelineární formulace
- Quasi-lineární formulace

3 Metody řešení systémů ODR a odhadu parametrů

4 Michaelis-Menten kinetika

- Nelineární a zjednodušená formulace
- Quasi-lineární formulace
- Numerické výsledky

5 Farmakodynamický model aktivace receptoru PXR

- Nelineární a zjednodušená formulace
- Quasi-lineární formulace
- Numerické výsledky

6 Závěr

Model

Jedná se o nejjednodušší případ enzymové kinetiky, aplikovaný na enzymově katalyzované reakce jednoho substrátu a jednoho produktu. Model popisuje přeměnu substrátu S na produkt P pomocí enzymu E .

Biochemický proces	Chemická notace	Parametry
Dávkování substrátu (externí vstup)	$\emptyset \rightarrow S_{ext}$	$a_{dose}(t)$
Substrát vstupuje do buňky např. propustností	$S_{ext} \rightleftharpoons S_{int}$	k_{up}, k_{up}
Enzym E se naváže se substrátem S a vytvoří komplex C	$S_{int} + E \rightleftharpoons C$	k_{ass}, k_{diss}
Komplex C se rozpadá v metabolity P a E	$C \rightarrow P + E$	k_{cat}
Rozklad (degradace) produktu P	$P \rightarrow \emptyset$	$a_{deg}(t)$

Označme stavové proměnné pro koncentrace látek jako

$$\begin{aligned}x(t) &= [x_1(t), x_2(t), x_3(t), x_4(t), x_5(t)]^T \\&= [S_{ext}(t), S_{int}(t), E(t), C(t), P(t)]^T\end{aligned}$$

Detaily viz [Papáček et al., 2023].

Odpovídající ODR – základní systém

Odpovídající nelineární (základní) systém ODR má tvar

$$\begin{aligned}x'_1(t) &= -k_{up} x_1(t) + k_{up} x_2(t) + a_{dose}(t) \\x'_2(t) &= k_{up} x_1(t) - k_{up} x_2(t) + k_{diss} x_4(t) - k_{ass} x_2(t) x_3(t) \\x'_3(t) &= (k_{diss} + k_{cat}) x_4(t) - k_{ass} x_2(t) x_3(t) \\x'_4(t) &= -(k_{diss} + k_{cat}) x_4(t) + k_{ass} x_2(t) x_3(t) \\x'_5(t) &= k_{cat} x_4(t) - a_{deg}(t)\end{aligned}$$

neboli

$$x'(t) = Lx(t) + n(t, x(t)), \quad (1)$$

kde

$$L = \begin{pmatrix} -k_{up} & k_{up} & 0 & 0 & 0 \\ k_{up} & -k_{up} & 0 & k_{diss} & 0 \\ 0 & 0 & 0 & k_{diss} + k_{cat} & 0 \\ 0 & 0 & 0 & -k_{diss} - k_{cat} & 0 \\ 0 & 0 & 0 & k_{cat} & 0 \end{pmatrix}, \quad n(t, x(t)) = \begin{pmatrix} a_{dose}(t) \\ -k_{ass} x_2(t) x_3(t) \\ -k_{ass} x_2(t) x_3(t) \\ k_{ass} x_2(t) x_3(t) \\ -a_{deg}(t) \end{pmatrix}$$

s počátečními podmínkami

$$x(0) = [S_0, 0, E_0, 0, 0]^T.$$

Zákon zachování

Transportní síť enzymů a substrátů má dvě podmnožiny látek, jejichž celková koncentrace zůstává po celou dobu konstantní. Nechť BÚNO $a_{dose}(t) = a_{deg}(t) = 0 \forall t$, pak

$$x'_3(t) + x'_4(t) = 0, \quad (2)$$

$$x'_1(t) + x'_2(t) + x'_4(t) + x'_5(t) = 0. \quad (3)$$

Odtud plyne vlastnost (zákon zachování)

$$x_3(t) + x_4(t) = E_0, \quad (4)$$

$$x_1(t) + x_2(t) + x_4(t) + x_5(t) = S_0. \quad (5)$$

Zjednodušená formulace

Vzhledem k vlastnostem (4)-(5), systém (1) lze zjednodušit. Jelikož

$$x_3(t) = E_0 - x_4(t),$$

lze proměnnou $x_3(t)$ takto nahradit ve všech rovnicích a příslušnou rovnici pro $x'_3(t)$ lze vyněchat.

Kromě toho lze uvažovat jen 3 rovnice, protože poslední proměnnou $x_5(t)$ lze spočítat jako

$$x_5(t) = S_0 - x_1(t) - x_2(t) - x_4(t).$$

Odpovídající ODR – zjednodušený systém

Základní systém (1) lze ekvivalentně přeformulovat za použití pouze 3 proměnných $\bar{x}(t) = [x_1(t), x_2(t), x_4(t)]^T$ takto:

$$x'_1(t) = -k_{up} x_1(t) + k_{up} x_2(t)$$

$$x'_2(t) = k_{up} x_1(t) - (k_{up} + E_0 k_{ass}) x_2(t) + k_{diss} x_4(t) - k_{ass} x_2(t) x_4(t)$$

$$x'_4(t) = E_0 k_{ass} x_2(t) - (k_{diss} + k_{cat}) x_4(t) - k_{ass} x_2(t) x_4(t)$$

neboli

$$\bar{x}'(t) = \bar{L}\bar{x}(t) + \bar{n}(t, \bar{x}(t)), \quad (6)$$

kde

$$\bar{L} = \begin{pmatrix} -k_{up} & k_{up} & 0 \\ k_{up} & -(k_{up} + E_0 k_{ass}) & k_{diss} \\ 0 & E_0 k_{ass} & -(k_{diss} + k_{cat}) \end{pmatrix}, \quad \bar{n}(t, \bar{x}(t)) = \begin{pmatrix} 0 \\ k_{ass} x_2(t) x_4(t) \\ -k_{ass} x_2(t) x_4(t) \end{pmatrix}$$

s počátečními podmínkami

$$\bar{x}(0) = [S_0, 0, 0]^T.$$

Dvě podsítě

Vzhledem k zákonům zachování (4)-(5), jedna transportní síť enzymů a substrátů (1) může být rozdělena na dvě podsítě. Máme tedy dvě množiny částečně se překrývajících stavových proměnných

$$x^{(1)}(t) = [x_3(t), x_4(t)]^T,$$

$$x^{(2)}(t) = [x_1(t), x_2(t), x_4(t), x_5(t)]^T,$$

a **quasi-lineární** systém diferenciálních rovnic pro rozšířený stavový vektor proměnných

$$\begin{aligned}\tilde{x}(t) &= \left[x^{(1)}(t)^T, x^{(2)}(t)^T \right]^T \\ &= [x_3(t), x_4(t), x_1(t), x_2(t), x_4(t), x_5(t)]^T.\end{aligned}$$

Překrývající se stavová proměnná je $x_4(t) = \tilde{x}_2(t) = \tilde{x}_5(t)$.

Bude nás tedy zajímat i rozdíl mezi $\tilde{x}_2(t)$ a $\tilde{x}_5(t)$, přičemž očekáváme, že

$$\tilde{x}_2(t) \cong \tilde{x}_5(t) \quad \forall t.$$

Odpovídající ODR – quasi-lineární formulace

Quasi-lineární formulace má tvar:

$$\begin{aligned}x'_3(t) &= -k_{ass} x_2(t) x_3(t) + (k_{diss} + k_{cat}) x_4(t) \\x'_4(t) &= k_{ass} x_2(t) x_3(t) - (k_{diss} + k_{cat}) x_4(t) \\x'_1(t) &= -k_{up} x_1(t) + k_{up} x_2(t) \\x'_2(t) &= k_{up} x_1(t) - (k_{up} + k_{ass} x_3(t)) x_2(t) + k_{diss} x_4(t) \\x'_4(t) &= k_{ass} x_3(t) x_2(t) - (k_{diss} + k_{cat}) x_4(t) \\x'_5(t) &= k_{cat} x_4(t)\end{aligned}$$

neboli

$$\tilde{x}'(t) = \tilde{L} \tilde{x}(t), \quad (7)$$

kde

$$\tilde{L} = \begin{pmatrix} -k_{ass} x_2(t) & k_{diss} + k_{cat} & 0 & 0 & 0 & 0 \\ k_{ass} x_2(t) & -k_{diss} - k_{cat} & 0 & 0 & 0 & 0 \\ 0 & 0 & -k_{up} & k_{up} & 0 & 0 \\ 0 & 0 & k_{up} & -k_{up} - k_{ass} x_3(t) & k_{diss} & 0 \\ 0 & 0 & 0 & k_{ass} x_3(t) & -k_{diss} - k_{cat} & 0 \\ 0 & 0 & 0 & 0 & k_{cat} & 0 \end{pmatrix}$$

s počátečními podmínkami

$$\tilde{x}(0) = [E_0, 0, S_0, 0, 0, 0]^T.$$

Tři modely

Numerické experimenty – srovnání tří modelů:

- ① Základní nelineární systém ODR (1) – **5 rovnic**. Alespoň jedna vnitřní Newtonova iterace se musí provést.
- ② Zjednodušený nelineární systém ODR (6) – **3 rovnice** pro x_1, x_2, x_4 ; zbývající proměnné x_3, x_5 se spočítají pomocí vlastností (4)-(5). Alespoň jedna vnitřní Newtonova iterace se musí provést.
- ③ Quasi-lineární systém ODR (7) – **6 rovnic**. Vnitřní Newtonova iterace se neprovádí.

Hodnoty parametrů

Použijeme hodnoty

$$k_{up} = 10^{-1}, \quad k_{ass} = 10^6, \quad k_{diss} = 10^{-4}, \quad k_{cat} = 10^{-1},$$

počáteční podmínky

$$S_0 = 5 \cdot 10^{-7}, \quad E_0 = 2 \cdot 10^{-7},$$

a dále

$$a_{dose}(t) = a_{deg}(t) \equiv 0.$$

Tato volba parametrů představuje situaci, kdy je transport přes buněčnou membránu a tvorba komplexu téměř okamžitý, zatímco metabolismus je o několik řádů pomalejší.

Dále

- Časový interval je $t \in [0, T]$, kde $T = 120$;
- Časový krok τ pro Eulerovu metodu je $\tau = 10^{-3}$;
- Tolerance pro Newtonovu metodu je $\varepsilon_F = \varepsilon_d = 10^{-6}$;
- Maximální počet extra Newtonových iterací (tj. kromě první, pokud není splněna tolerance) pro jednu Eulerovu iteraci je $k_{\max} = 1$.

Označení

Označení v následujících tabulkách:

- **NWT** – celkový počet extra Newtonových iterací pro všechny časové kroky
- **Time** – celkový výpočetní čas v sekundách pro 1 000 simulací
- **Speedup** – časové zrychlení v procentech vzhledem k základnímu systému
- **Error** – celková relativní chyba řešení:

$$\frac{1}{n} \sum_{i=1}^n \sqrt{\frac{1}{M} \sum_{j=0}^M \left[\frac{x_i^{NS}(t_j) - x_i^{model}(t_j)}{x_i^{NS}(t_j)} \right]^2},$$

kde $model \in \{SS, QS\}$; NS, SS, QS značí základní nelineární, zjednodušený (simplified) nelineární a quasi-lineární systém; M je počet simulovalých minut ($M = T$) a n je počet proměnných

- $\|\tilde{x}_2 - \tilde{x}_5\| = \frac{\tau}{M} \sqrt{\sum_{j=0}^M [\tilde{x}_2(t_j) - \tilde{x}_5(t_j)]^2}$

Srovnání modelů pomocí Eulerovy metody

Model	NWT	Time	Speedup
(NS) Nelineární systém (1)	0	28.09	1.00
(SS) Zjednodušený systém (6)	0	18.96	0.68
(QS) Quasi-lineární systém (7)	-	5.82	0.21

Model	Volba x_4	$\ \tilde{x}_2 - \tilde{x}_5\ $	Error
(SS) Zjednodušený systém (6)	-	-	6.27E-5
(QL) Quasi-lineární systém (7)	\tilde{x}_2	1.60E-14	6.49E-5
(QL) Quasi-lineární systém (7)	\tilde{x}_5	1.60E-14	3.42E-5
(QL) Quasi-lineární systém (7)	$(\tilde{x}_2 + \tilde{x}_5)/2$	1.60E-14	4.39E-5

Zpětný odhad parametrů – data

Dva parametry k_{ass} and k_{cat} jsme zkoušeli zpětně odhadnout na základě dat získaných použitím přesných hodnot $k_{ass} = 10^6$ a $k_{cat} = 10^{-1}$.

Zvolili jsme malou množinu časů t_j a spočítali přesné hodnoty $x_5(t_j)$, které budou sloužit jako data d_j (pro jednoduchost bez šumu); $x_5(t)$ odpovídá koncentraci (produkту) P(t), která se v praxi dá experimentálně změřit.

j	t_j	d_j
1	5	0.106644E-07
2	10	0.465241E-07
3	15	0.942874E-07
4	20	0.144851E-06

Zpětný odhad parametrů – minimalizace

Cíl:

- Začít s nějakými počátečními hodnotami k_{ass}^{init} a k_{cat}^{init} .
- Stanovit vhodné (stačí dolní) meze k_{ass}^{LB} a k_{cat}^{LB} .
- Nalézt řešení k_{ass}^* a k_{cat}^* pro které spočtené hodnoty $x_5(t_j)$ co možná nejlépe fitují hodnoty d_j .

Neboli, nalézt hodnoty k_{ass}^* a k_{cat}^* s co nejmenší odchylkou mezi naměřenými a spočtenými daty. To vede na minimalizaci funkce

$$F(k) = \sum_{j=1}^{m_d} \left[\frac{x_5(t_j) - d_j}{d_j} \right]^2 \rightarrow \min_k,$$

kde $k = [k_{ass}, k_{cat}]^T \in \mathcal{R}^2$ and $m_d = 4$.

Použité metody

Pro minimalizaci byly použity metody s lokálně omezeným krokem (TR) a s proměnnou metrikou (VM).

- Počáteční hodnoty: $k_{ass}^{init} = 10^0$ a $k_{cat}^{init} = 10^{-6}$.
- Dolní meze: $k_{ass}^{LB} = 10^0$ a $k_{cat}^{LB} = 10^{-16}$.

Označení:

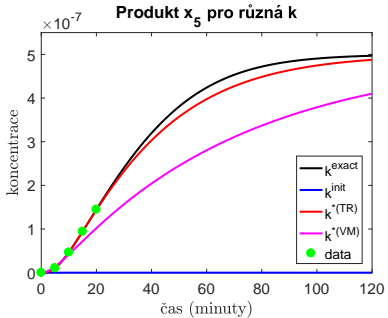
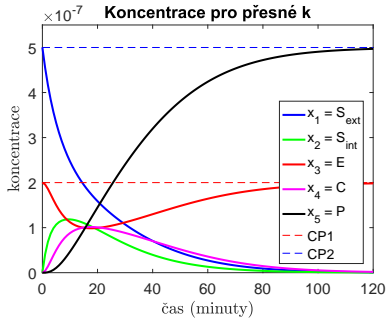
- NIT – celkový počet iterací
- NFV – celkový počet funkčních výpočtů
- time – celkový výpočetní čas v sekundách

Srovnání odhadů pro tři modely

TR / Model	NS (1)	SS (6)	QS (7)
k_{ass}^*	4.68E+5	4.68E+5	4.68E+5
k_{cat}^*	2.06E-1	2.06E-1	2.06E-1
$F(k^*)$	1.69E-4	1.69E-4	1.69E-4
NIT	505	542	508
NFV	4 075	4 373	4 110
time	108.46	120.75	24.25

VM / Model	NS (1)	SS (6)	QS (7)
k_{ass}^*	1.62E+5	1.62E+5	1.62E+5
k_{cat}^*	1.98E+6	1.98E+6	1.98E+6
$F(k^*)$	2.61E-1	2.61E-1	2.61E-1
NIT	2 160	2 161	2 162
NFV	8 634	8 642	8 636
time	221.45	228.81	51.09

Grafy



Vlevo: Koncentrace $x_1(t), \dots, x_5(t)$ pro $k_{\text{ass}} = 10^6$ a $k_{\text{cat}} = 10^{-1}$;

$$\text{CP1} = x_3 + x_4, \quad \text{CP2} = x_1 + x_2 + x_4 + x_5;$$

Vpravo: Koncentrace produktu $x_5(t)$ pro různá k_{ass} a k_{cat} .

Outline

1 Úvod

2 Speciální třída matematických modelů

- Nelineární formulace
- Quasi-lineární formulace

3 Metody řešení systémů ODR a odhadu parametrů

4 Michaelis-Menten kinetika

- Nelineární a zjednodušená formulace
- Quasi-lineární formulace
- Numerické výsledky

5 Farmakodynamický model aktivace receptoru PXR

- Nelineární a zjednodušená formulace
- Quasi-lineární formulace
- Numerické výsledky

6 Závěr

Model

Receptor PXR hraje mimo jiné důležitou roli v detoxikaci jaterních buněk.
Má mnoho ligandů, zde uvažujeme o léku (substrátu) Rifampicin.
Nejjednodušší model je tento [Luke et al., 2010].

Biochemický proces	Chemická notace	Parametry
Dávkování substrátu (léčiva) (externí vstup)	$\emptyset \rightarrow S_{ext}$	$a_{dose}(t)$
Substrát vstupuje do buňky např. propustností	$S_{ext} \rightleftharpoons S_{int}$	k_{up}, k_{up}
Substrát S se naváže s receptorem R , a vytvoří komplex C	$S_{int} + R \rightleftharpoons C$	k_{ass}, k_{diss}
Komplex C vyvolá transkripcí (přepis) mRNA	$C \rightarrow mR$	$k_{transcr}$
Přirozený rozklad mRNA	$mR \rightarrow \emptyset$	k_{mRdeg}
Přirozená tvorba mRNA na pozadí	$\emptyset \rightarrow mR$	p_{back}
mRNA se přemění a vytvoří enzym Cyp	$mR \rightarrow Cyp$	k_{transl}
Přirozený rozklad enzymu Cyp	$Cyp \rightarrow \emptyset$	k_{cypdeg}
Enzym Cyp metabolizuje substrát S	$S_{int} \rightarrow \emptyset$	k_{met}

Označme stavové proměnné pro koncentrace látek jako

$$\begin{aligned}x(t) &= [x_1(t), x_2(t), x_3(t), x_4(t), x_5(t), x_6(t)]^T \\&= [S_{ext}(t), S_{int}(t), R(t), C(t), mR(t), Cyp(t)]^T.\end{aligned}$$

Detailedy viz [Duintjer Tebbens et al., 2019].

Odpovídající ODR – základní systém

Farmakodynamický model lze popsat pomocí diferenciálních rovnic

$$\begin{aligned}x_1'(t) &= -k_{up}x_1(t) + k_{up}x_2(t) + a_{dose}(t) \\x_2'(t) &= k_{up}x_1(t) - k_{up}x_2(t) + k_{diss}x_4(t) \\&\quad - k_{ass}x_2(t)x_3(t) - k_{met}x_2(t)x_6(t) \\x_3'(t) &= k_{diss}x_4(t) - k_{ass}x_2(t)x_3(t) \\x_4'(t) &= -k_{diss}x_4(t) + k_{ass}x_2(t)x_3(t) \\x_5'(t) &= k_{transcr}x_4(t) - k_{mRdeg}x_5(t) + p_{back} \\x_6'(t) &= k_{transl}x_5(t) - k_{cypdeg}x_6(t)\end{aligned}$$

s počátečními podmínkami

$$x(0) = \left[0, 0, R(0), 0, \frac{p_{back}}{k_{mRdeg}}, \frac{k_{transl}}{k_{cypdeg}} \frac{p_{back}}{k_{mRdeg}} \right]^T,$$

kde zároveň předpokládáme, že dávkovací funkce $a_{dose}(t)$ je nenulová.

Laboratorní data jsou obvykle k dispozici pouze pro mRNA ($x_5(t)$).

Zákon zachování

První čtyři rovnice jsou podobné MM modelu se dvěma rozdíly:

- 1 Je zahrnuta smyčka zpětné vazby prostřednictvím členu $k_{met} x_2(t) x_6(t)$. Ta popisuje metabolismus léčiva enzymem, jehož produkce se podáváním léčiva zvyšuje.
- 2 Vazba substrátu (léčiva) na receptor zde nemá stejný účinek jako vazba substrátu a enzymu v MM modelu. Nedochází k rozpadu komplexu na enzym a metabolit. Účinek komplexu léčivo-receptor je vyjádřen výrazem $k_{transcr} x_4(t)$.

Rovnice zachování:

- Člen $k_{transcr} x_4(t)$ nemá protějšek s opačným znaménkem, nelze tak získat rovnice typu $x_1 + x_2 + x_4 + x_5 = \text{const.}$
- Podobně člen $k_{met} x_2(t) x_6(t)$ lze nalézt pouze v jedné rovnici. Poslední dvě rovnice zjevně nemají žádné zákony zachování.
- Jediná zřejmá rovnice zachování je

$$x'_3(t) + x'_4(t) = 0 \quad \Rightarrow \quad x_3(t) + x_4(t) = R(0).$$

Zjednodušená formulace

Pro jednoduchost a BÚNO předpokládejme situaci **bez metabolismu**, tj. ignorujeme člen $-k_{met} x_2(t) x_6(t)$, neboť předpokládáme $k_{met} = 0$. Pak navíc platí zákon zachování

$$x'_1(t) + x'_2(t) + x'_4(t) = a_{dose}(t) \Rightarrow x_1(t) + x_2(t) + x_4(t) = A(t),$$

kde $A(t) = \int_0^t a_{dose}(s) ds$. Nyní využití vztahů

$$x_1(t) = A(t) - x_2(t) - x_4(t), \quad x_3(t) = R(0) - x_4(t)$$

vede na zjednodušený systém

$$x'_2(t) = -[2 k_{up} + k_{ass} R(0)] x_2(t) + (k_{diss} - k_{up}) x_4(t)$$

$$+ k_{ass} x_2(t) x_4(t) + k_{up} A(t)$$

$$x'_4(t) = k_{ass} R(0) x_2(t) - k_{diss} x_4(t) - k_{ass} x_2(t) x_4(t)$$

$$x'_5(t) = k_{transcr} x_4(t) - k_{mRdeg} x_5(t) + p_{back}$$

$$x'_6(t) = k_{transl} x_5(t) - k_{cypdeg} x_6(t)$$

s počátečními podmínkami

$$x(0) = \left[0, 0, \frac{p_{back}}{k_{mRdeg}}, \frac{k_{transl}}{k_{cypdeg}} \frac{p_{back}}{k_{mRdeg}} \right]^T.$$

Quasi-lineární formulace - bloky 1 a 2

Pro první čtyři rovnice můžeme definovat podsítě podobné těm v MM modelu (opět předpokládáme $k_{met} = 0$):

- Podmnožiny proměnných jsou

$$x^{(1)}(t) = [x_3(t), x_4(t)]^T, \quad x^{(2)}(t) = [x_1(t), x_2(t), x_4(t)]^T;$$

- Odpovídající blokově diagonální negativně singulární M-matice jsou

$$L^{(1)} = \begin{pmatrix} * & k_{diss} \\ k_{ass} x_2(t) & * \end{pmatrix}, \quad L^{(2)} = \begin{pmatrix} * & k_{up} & \\ k_{up} & * & k_{diss} \\ k_{ass} x_3(t) & & * \end{pmatrix},$$

kde $*$ je součet sloupcových prvků s opačným znaménkem;

- Vektory vnějších podnětů jsou

$$n^{(1)}(t) = [0, 0]^T, \quad n^{(2)}(t) = [a_{dose}(t), 0, 0]^T.$$

Quasi-lineární formulace - blok 3

Abychom vytvořili třetí podsíť, zavedeme fiktivní stavovou proměnnou $x_7(t)$ představující koncentraci látky v umělé oblasti, přes kterou se mRNA a CYP3A4 vylučují, např. ve žluči:

$$\begin{aligned}x'_5(t) &= -k_{mRdeg}x_5(t) + p_{back} + k_{transcr}x_4(t) \\x'_6(t) &= -k_{cypdeg}x_6(t) + k_{transl}x_5(t), \\x'_7(t) &= k_{mRdeg}x_5(t) + k_{cypdeg}x_6(t)\end{aligned}$$

- Podmnožina proměnných je

$$x^{(3)}(t) = [x_5(t), x_6(t), x_7(t)];$$

- Tato podskupina obsahuje zákon zachování, pokud se transkripce a translace považuje za vnější podnět, tj.

$$n^{(3)}(t) = [p_{back} + k_{transcr}x_4(t), k_{transl}x_5(t), 0]^T;$$

- Odpovídající blokově diagonální negativně singulární M-matice je

$$L^{(3)} = \begin{pmatrix} * & & \\ & * & \\ k_{mRdeg} & k_{cypdeg} & *\end{pmatrix}.$$

Quasi-lineární formulace - shrnutí

Quasi-lineární systém vypadá takto:

$$\tilde{x}'(t) = \tilde{L}(\tilde{x}(t)) \tilde{x}(t) + \tilde{n}(t),$$

kde

$$\begin{aligned}\tilde{x}(t) &= [\tilde{x}_1(t), \tilde{x}_2(t), \tilde{x}_3(t), \tilde{x}_4(t), \tilde{x}_5(t), \textcolor{blue}{\tilde{x}_6(t)}, \tilde{x}_7(t), \tilde{x}_8(t)]^T \\ &= [x_3(t), x_4(t), x_1(t), x_2(t), x_4(t), \textcolor{blue}{x_5(t)}, x_6(t), x_7(t)]^T,\end{aligned}$$

$$\tilde{L}(\tilde{x}(t)) = \text{diag} \{ L^{(1)}, L^{(2)}, L^{(3)} \},$$

$$\tilde{n}(t) = [n^{(1)}(t)^T, n^{(2)}(t)^T, n^{(3)}(t)^T]^T,$$

s počátečními podmínkami

$$\tilde{x}(0) = \left[R(0), 0, 0, 0, 0, \frac{p_{back}}{k_{mRdeg}}, \frac{k_{transl}}{k_{cypdeg}} \frac{p_{back}}{k_{mRdeg}}, p_{back} + \frac{k_{transl} p_{back}}{k_{mRdeg}} \right]^T.$$

Quasi-lineární formulace - řešení

- Nejprve řešíme podsystémy odpovídající $L^{(1)}$ a $L^{(2)}$.
- Získáme hodnoty $\tilde{x}_2(t)$ a $\tilde{x}_5(t)$, které obě odpovídají $x_4(t)$.
- Obdobně jako v MM modelu nás zajímá rozdíl mezi $\tilde{x}_2(t)$ a $\tilde{x}_5(t)$, přičemž očekáváme, že

$$\tilde{x}_2(t) \cong \tilde{x}_5(t) \quad \forall t.$$

- Za $x_4(t)$ vezmeme $\tilde{x}_2(t)$, $\tilde{x}_5(t)$ nebo průměr a dosadíme do první složky v $n^{(3)}(t)$.
- Z první rovnice 3. bloku spočítáme $x_5(t) = \tilde{x}_6(t)$ a dosadíme ho do druhé složky v $n^{(3)}(t)$.
- Z druhé rovnice 3. bloku spočítáme $x_6(t) = \tilde{x}_7(t)$.
- Z třetí rovnice 3. bloku spočítáme zbývající složku $x_7(t) = \tilde{x}_8(t)$ (nemusíme, jelikož to je uměle zavedená fiktivní proměnná).

Hodnoty parametrů

Hodnoty jsou převzaté z [Luke et al., 2010] s odpovídajícími jednotkami (min, μM).

$$\begin{aligned} k_{up} &= 6.55 \cdot 10^{-3} \\ k_{ass} &= 1.84 \cdot 10^{-5} \\ k_{diss} &= 1.03 \cdot 10^{-4} \quad (\text{lze změnit fitováním}) \\ k_{met} &= 0.0 \quad (\text{jinak obvykle } 2.47 \cdot 10^{-5}) \\ k_{transcr} &= 39.3 \\ k_{mRdeg} &= 0.04 \\ p_{back} &= 2.83 \cdot 10^{-7} \quad (\text{lze změnit fitováním}) \\ k_{transl} &= 2.5 \\ k_{cypdeg} &= 2.7 \cdot 10^{-4} \\ R(0) &= 9.47 \cdot 10^{-7} \quad (\text{lze změnit fitováním}) \end{aligned}$$

Dávkovací funkce

$$a_{dose}(t) = \begin{cases} \frac{1}{3} & : t \leq 60 \\ 0 & : t > 60 \end{cases}$$

tedy celkem $a_{dose}(t) = 20$ během 1 hodiny.

Data

Laboratorní data d_j pro mRNA (hodnoty $x_5(t_j)$) jsou převzata z [Pascussi et al., 2005]

j	t_j	d_j	rozptyl
0	0	7.08E-6	0.00E+0
1	360	1.42E-5	0.00E+0
2	720	2.12E-5	1.42E-5
3	1440	8.49E-5	2.83E-5
4	2880	3.25E-4	7.08E-5

Další hodnoty

Pro Eulerovu metodu a fitování některých parametrů (k_{diss} a $k_{diss}, R(0)$) jsou použity tyto hodnoty:

- Časový interval je $t \in [0, T]$, kde $T = 5\,000$.
- Časový krok τ pro Eulerovu metodu je $\tau = 10^{-2}$.
- Minimalizační funkce má tvar

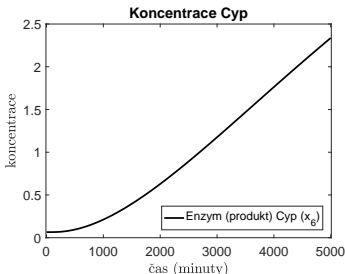
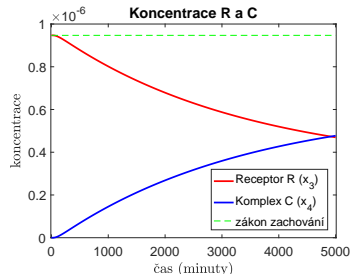
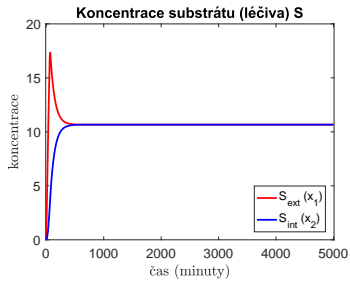
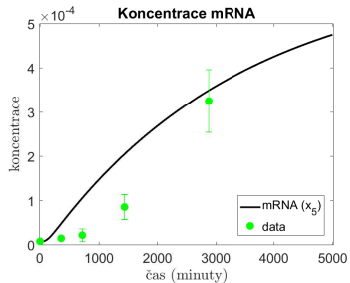
$$F(k) = \sum_{j=1}^{m_d} \left[\frac{x_5(t_j) - d_j}{d_j} \right]^2 \rightarrow \min_k,$$

kde $k = k_{diss} \in \mathcal{R}$ a $k = [k_{diss}, R(0)]^T \in \mathcal{R}^2$.

- Počáteční hodnoty: $k_{diss}^{init} = R(0)^{init} = 10^{-6}$.
- Dolní meze: $k_{diss}^{LB} = R(0)^{LB} = 10^{-16}$.

Vše ostatní je stejně jako u MM modelu.

Grafy



Srovnání modelů pomocí Eulerovy metody

Model	NWT	Time (100×)	Speedup
Nelineární systém	0	22.52	1.00
Zjednodušený systém	0	13.72	0.61
Quasi-lineární systém	-	4.82	0.21

Model	Volba x_4	$\ \tilde{x}_2 - \tilde{x}_5\$	Error
Zjednodušený systém	-	-	0.00E0
Quasi-lineární systém	\tilde{x}_2	2.41E-15	8.54E-5
Quasi-lineární systém	\tilde{x}_5	2.41E-15	1.98E-6
Quasi-lineární systém	$(\tilde{x}_2 + \tilde{x}_5)/2$	2.41E-15	4.27E-5

Fitování parametrů 1

Odhad pouze pro k_{diss} :

TR / Model	Nelineární	Zjednodušený	Quasi-lineární
k_{diss}^*	2.07E-5	2.07E-5	2.07E-5
$F(k^*)$	7.36E-1	7.36E-1	7.36E-1
NIT	4	4	3
NFV	20	26	34
time	1.64	1.40	0.75

VM / Model	Nelineární	Zjednodušený	Quasi-lineární
k_{diss}^*	2.07E-5	2.07E-5	2.07E-5
$F(k^*)$	7.36E-1	7.36E-1	7.36E-1
NIT	6	4	6
NFV	35	49	55
time	2.85	2.64	1.20

Pro defaultní hodnotu $k_{diss} = 1.03E-4$ je $F(k) = 2.31E+1$.

Fitování parametrů 2

Odhad pro k_{diss} a $R(0)$:

TR / Model	Nelineární	Zjednodušený	Quasi-lineární
k_{diss}^*	3.94E-6	4.16E-6	4.12E-6
$R(0)^*$	4.97E-6	4.71E-6	4.74E-6
$F(k^*)$	7.07E-1	7.07E-1	7.07E-1
NIT	65	47	47
NFV	865	653	628
time	70.96	35.75	13.48

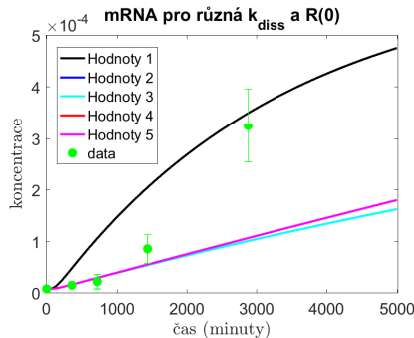
VM / Model	Nelineární	Zjednodušený	Quasi-lineární
k_{diss}^*	4.41E-6	4.41E-6	4.41E-6
$R(0)^*$	4.44E-6	4.44E-6	4.44E-6
$F(k^*)$	7.08E-1	7.08E-1	7.08E-1
NIT	12	13	13
NFV	131	142	146
time	10.70	7.84	3.17

Default $k_{diss} = 1.03E-4$, $R(0) = 9.47E-7$: $F(k) = 2.31E+1$.

Grafy

Křivky pro hodnoty z quasi-lineární formulace:

- 1 Defaultní hodnoty: $k_{diss} = 1.03 \cdot 10^{-4}$, $R(0) = 9.47 \cdot 10^{-7}$.
- 2 Hodnoty fitováním: $k_{diss} = 2.07 \cdot 10^{-5}$, $R(0) = 9.47 \cdot 10^{-7}$ (TR).
- 3 Hodnoty fitováním: $k_{diss} = 2.07 \cdot 10^{-5}$, $R(0) = 9.47 \cdot 10^{-7}$ (VM).
- 4 Hodnoty fitováním: $k_{diss} = 4.12 \cdot 10^{-6}$, $R(0) = 4.74 \cdot 10^{-6}$ (TR).
- 5 Hodnoty fitováním: $k_{diss} = 4.41 \cdot 10^{-6}$, $R(0) = 4.44 \cdot 10^{-6}$ (VM).



Outline

- 1 Úvod
- 2 Speciální třída matematických modelů
 - Nelineární formulace
 - Quasi-lineární formulace
- 3 Metody řešení systémů ODR a odhadu parametrů
- 4 Michaelis-Menten kinetika
 - Nelineární a zjednodušená formulace
 - Quasi-lineární formulace
 - Numerické výsledky
- 5 Farmakodynamický model aktivace receptoru PXR
 - Nelineární a zjednodušená formulace
 - Quasi-lineární formulace
 - Numerické výsledky
- 6 Závěr

Závěr

- Abychom se vypořádali s nelinearitami, které vznikají v reálných procesech, popsali jsme speciální reformulaci původního nelineárního systému na zdánlivě lineární, ale de facto **quasi-lineární systém**.
- Řešení původního „velkého“ nelineárního systému se pomocí quasi-linární formulace rozdělí na řešení více „malých“ lineárních systémů.
- Nelineární formulace a quasi-lineární formulace jsou **matematicky ekvivalentní**.
- Na obou příkladech, které simulují biologické situace s danou volbou parametrů, je ukázáno **výrazné urychlení numerických výpočtů**, aniž bychom ztratili přesnost.
- Pokud je nutné odhadovat parametry pomocí fitování křivek, modely se v iteračním procesu **musí volat opakovaně** a zrychlení výpočtů je ještě výraznější.

Detailly viz [Duintjer Tebbens et al., 2024].

Literatura 1

-  Bohl E., Marek I.:
Input-output systems in biology and chemistry and a class of mathematical models describing them.
Applications of Mathematics, Vol. 50, No. 3, p. 219-245, 2005.
-  Fiedler M.:
Special matrices and their applications in numerical mathematics: Second Edition.
Dover Books on Mathematics. ISBN 978-0-486-783548-2, 2013.
-  Luke N.S., DeVito M.J., Shah I., El-Masri H.A.:
Development of a quantitative model of pregnane X receptor (PXR) mediated xenobiotic metabolizing enzyme induction.
Bulletin of mathematical biology, vol. 72(7), p. 1799-1819 (2010).
-  Pascussi J., Robert A., Nguyen M., Wairant-Debray O., Garabedian M., Martin P., Pineau T., Saric J., Navarro F., Maurel P., Vilarem M.:
Possible involvement of pregnane X receptor-enhanced CYP24 expression in drug-induced osteomalacia.
Journal of Clinical Investigation 115(1) (2005), p. 177-186.

Literatura 2

-  Duintjer Tebbens J., Matonoha C., Matthias A., Papáček Š.:
On Parameter Estimation in an In Vitro Compartmental Model for Drug-induced Enzyme Production in Pharmacotherapy
Applications of Mathematics, vol. 64(2), p. 253–277 (2019).
-  Lukšan L., Tůma M., Matonoha C., Vlček J., Ramešová N., Šíška M., Hartman J.:
UFO 2017 - Interactive System for Universal Functional Optimization.
Technical report V-1252, ICS AS CR, Prague, 2017, 395 p.
<https://www.cs.cas.cz/luksan/ufo.html>
-  Papáček Š., Matonoha C., Duintjer Tebbens J.:
Bohl-Marek decomposition applied to a class of biochemical networks with conservation properties.
Proceedings of SNA'23, Ostrava, p. 56-59, 2023.
-  Duintjer Tebbens J., Matonoha C., Papáček Š.:
A note on exploiting quasi-linearity for accelerated numerical solution of mass action kinetics based chemical networks(?)
In preparation (2024).

Děkuji za pozornost.